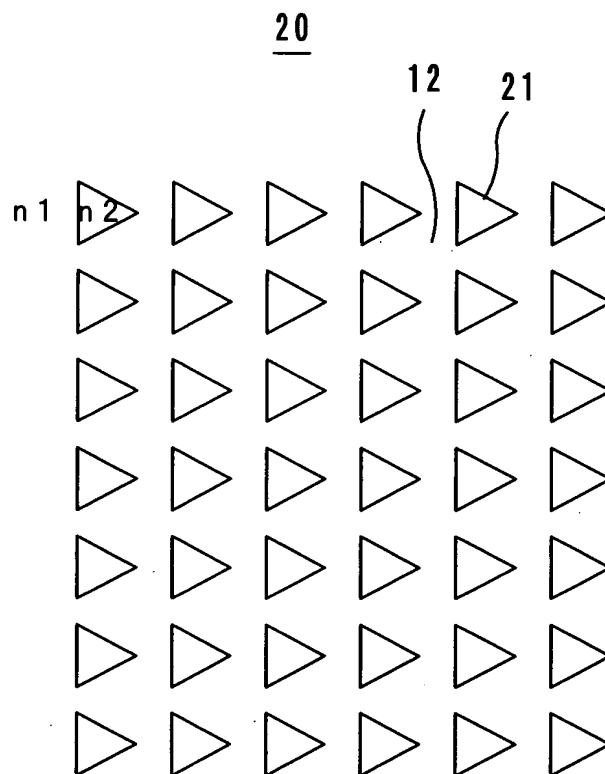
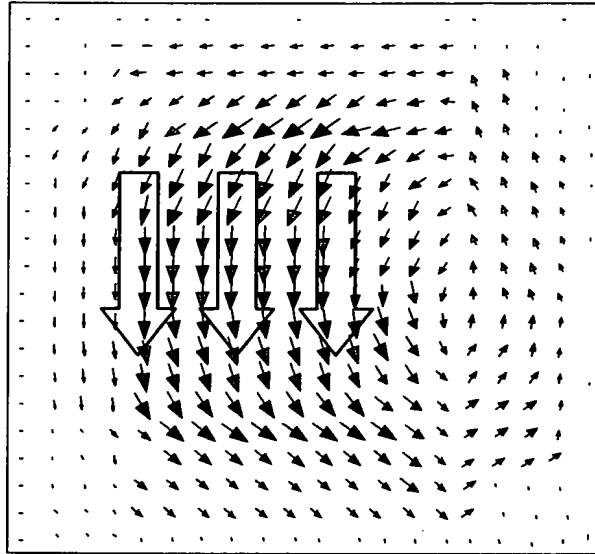


*F I G . 1*



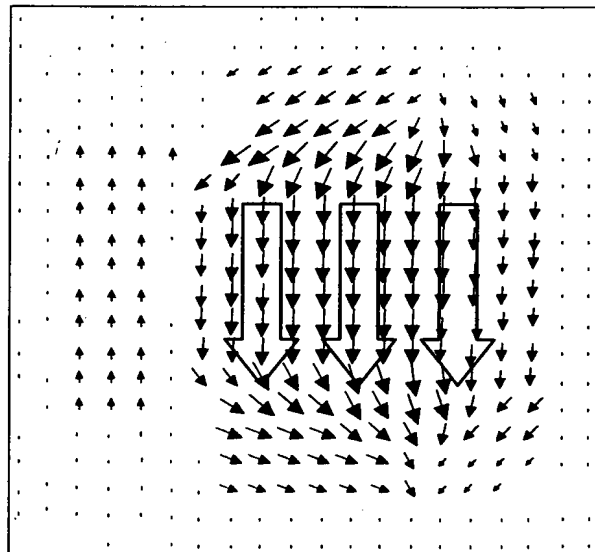
*F I G . 2*

MODE I"



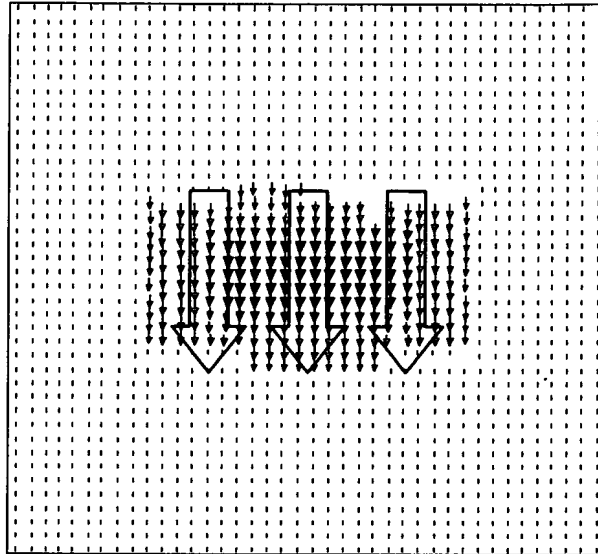
*F I G . 3*

MODE II"



*F I G . 4*

MODE III"



*F I G . 5*

MODE IV"

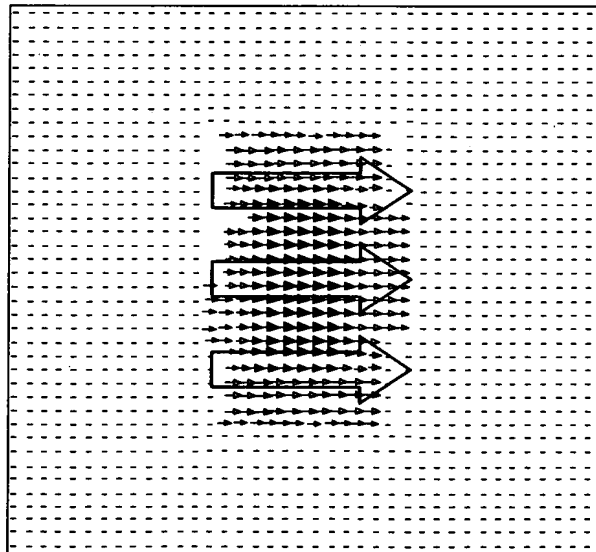


FIG. 6c

MODE 1

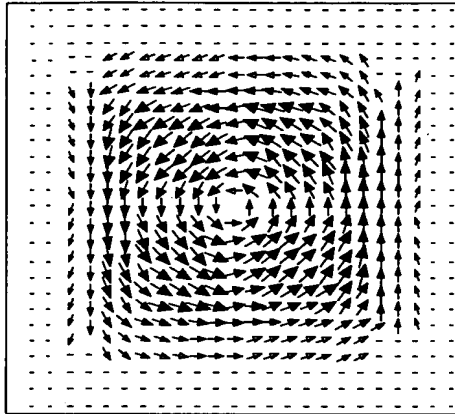


FIG. 6b

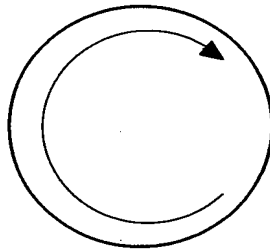


FIG. 6a

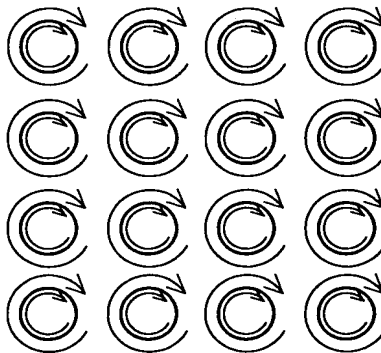


FIG. 7c

MODE 1'

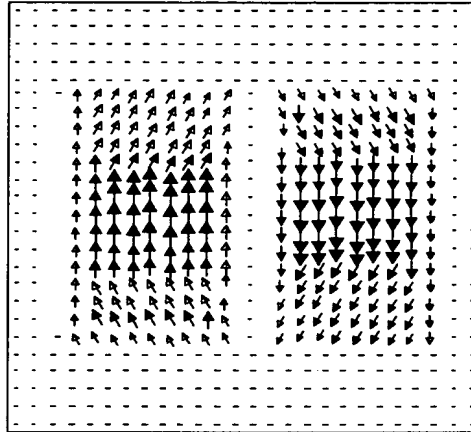


FIG. 7b

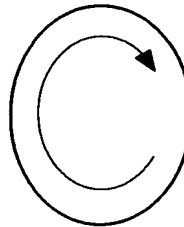


FIG. 7a

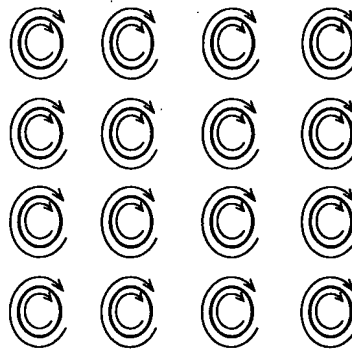


FIG. 8c

MODE 1"

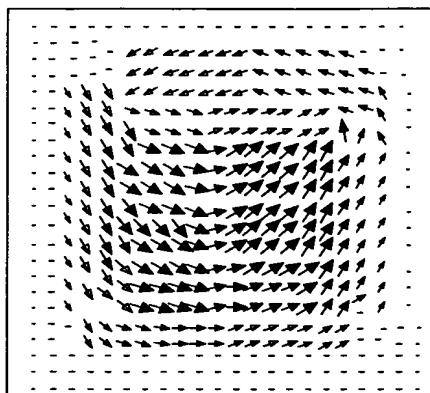


FIG. 8b

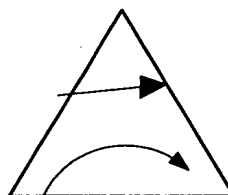
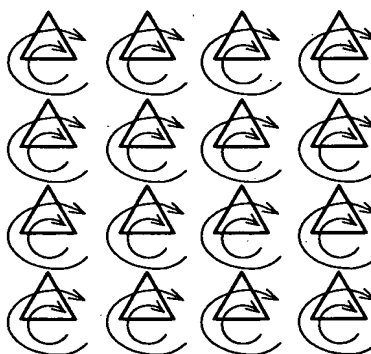
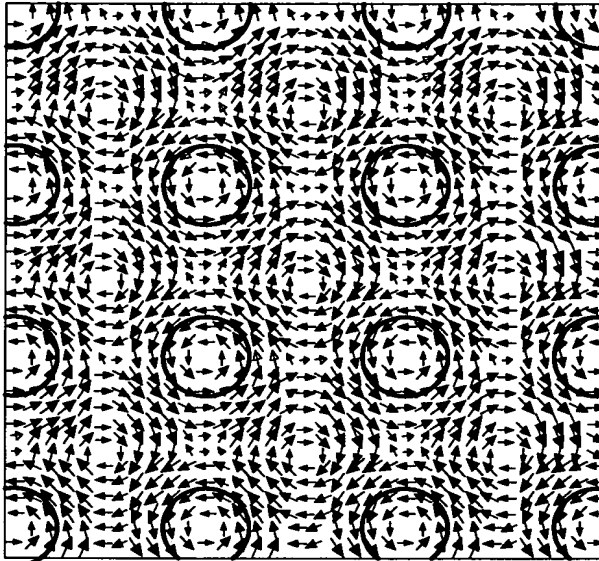


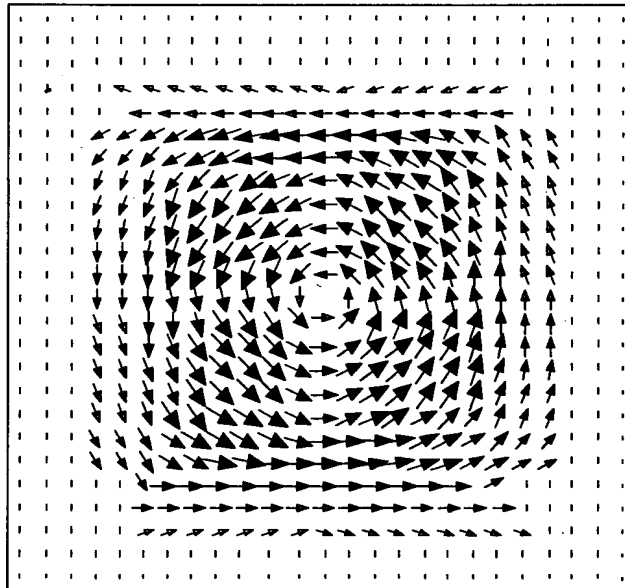
FIG. 8a



*F I G . 9 a*

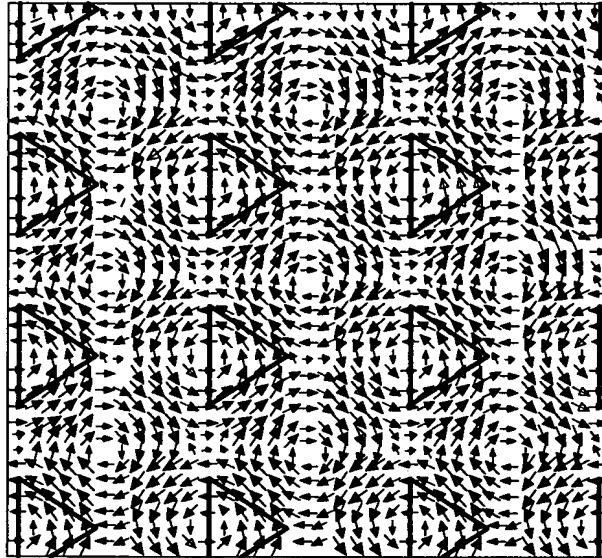


*F I G . 9 b*



10/550596

*FIG. 10a*



*FIG. 10b*

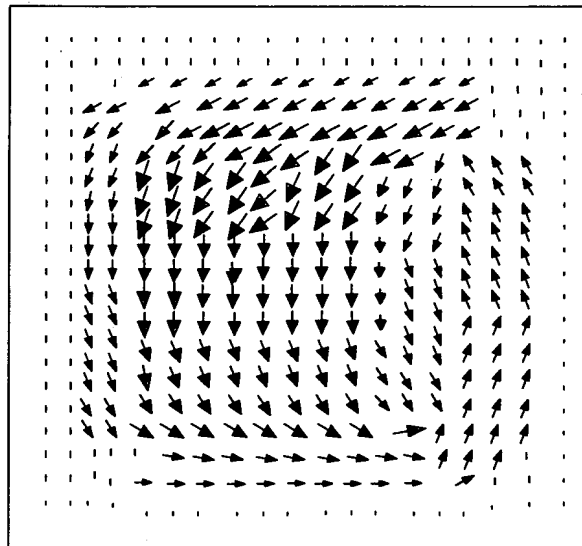


FIG. 11c

MODE II

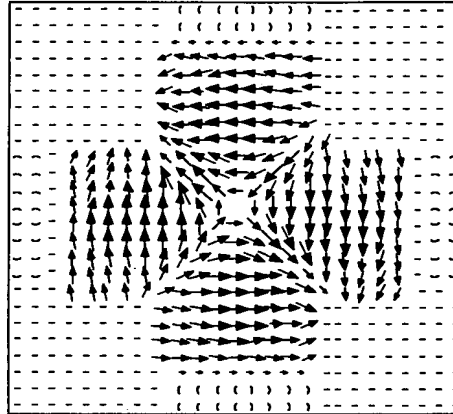


FIG. 11b

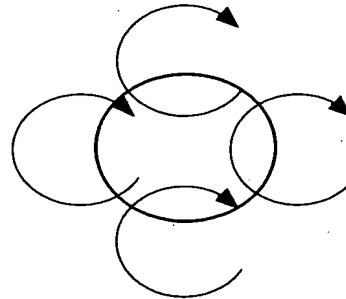


FIG. 11a

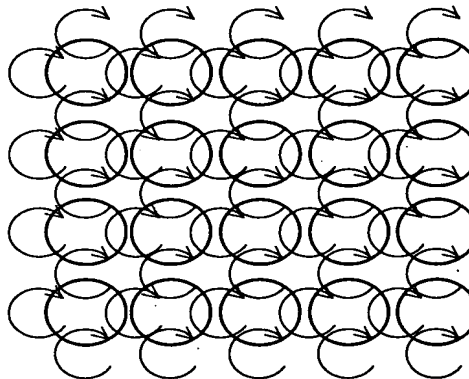


FIG. 12c

MODE II'

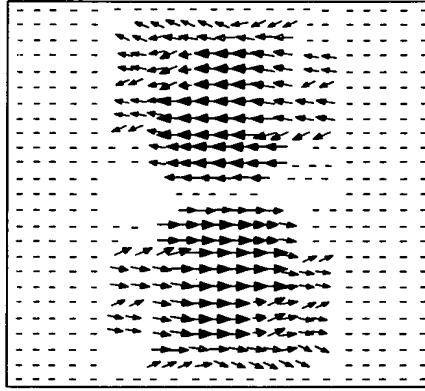


FIG. 12b

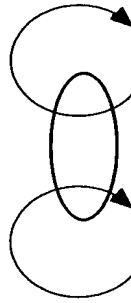


FIG. 12a

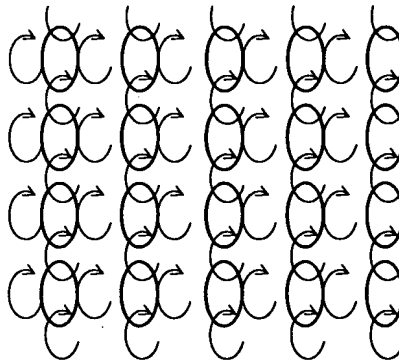


FIG. 13c

MODE II"

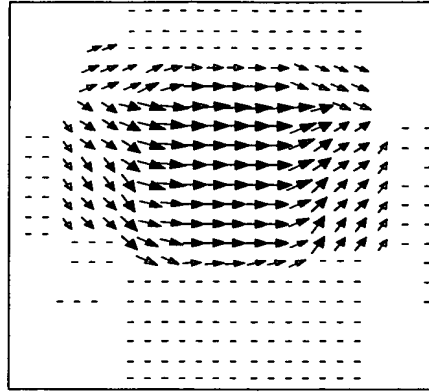
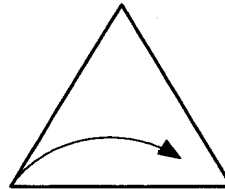
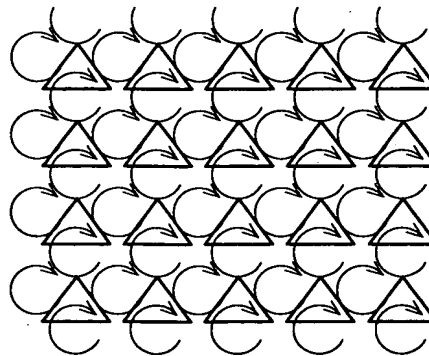


FIG. 13a

FIG. 13b



10/550596

FIG. 14a

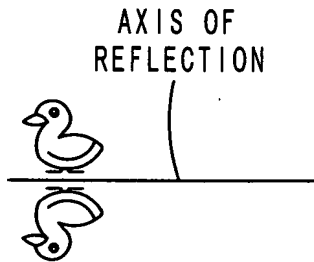


FIG. 14b

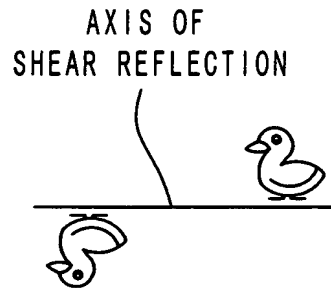


FIG. 15

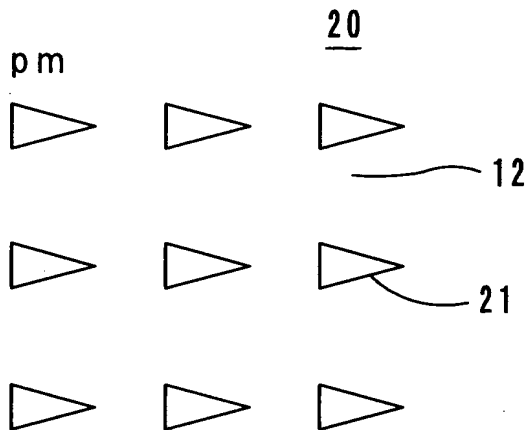


FIG. 16

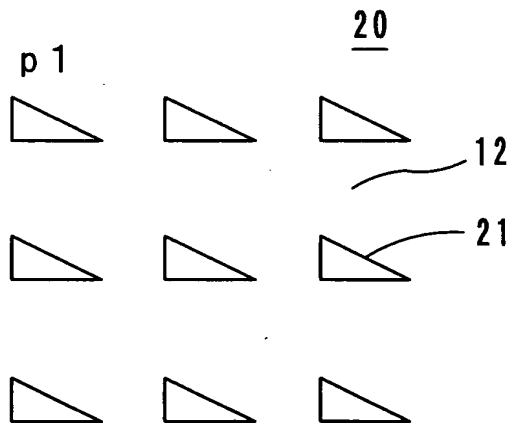


FIG. 17

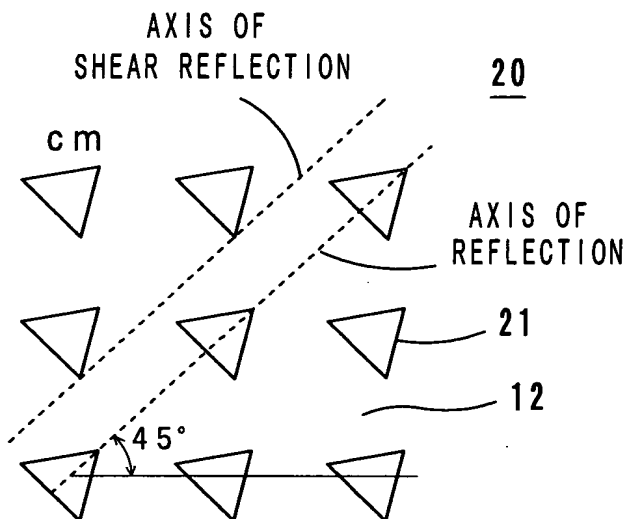


FIG. 18

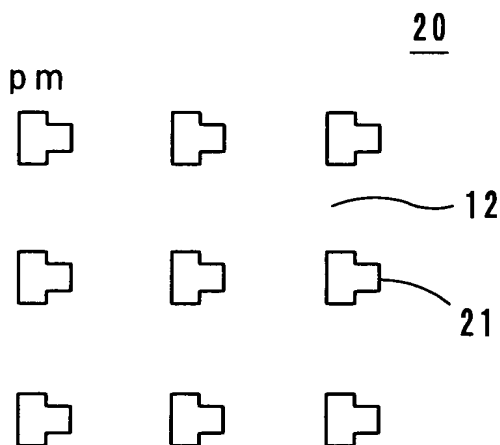


FIG. 19

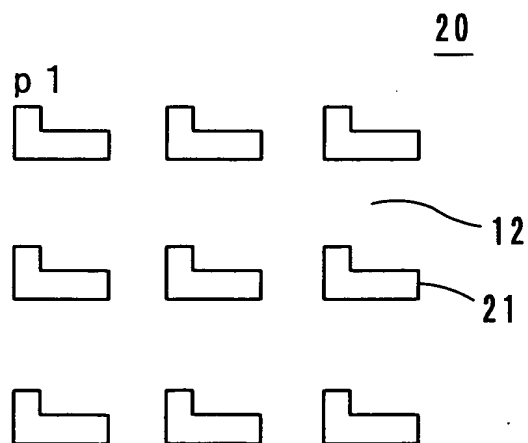


FIG. 20

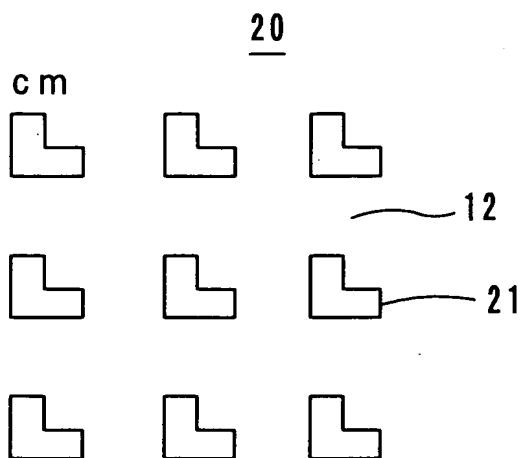


FIG. 21

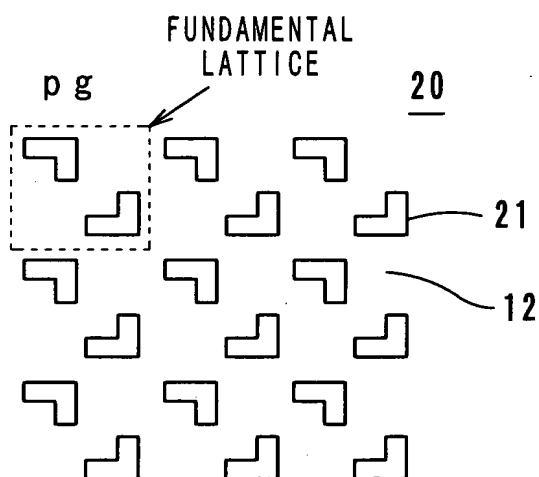


FIG. 22

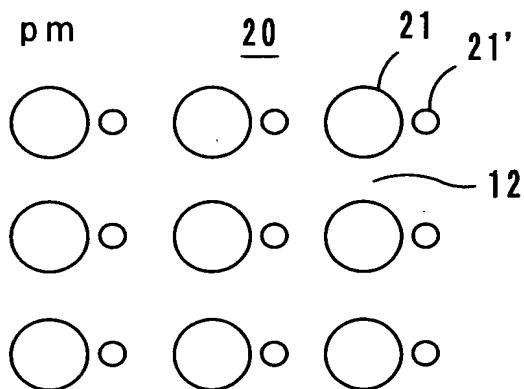


FIG. 23

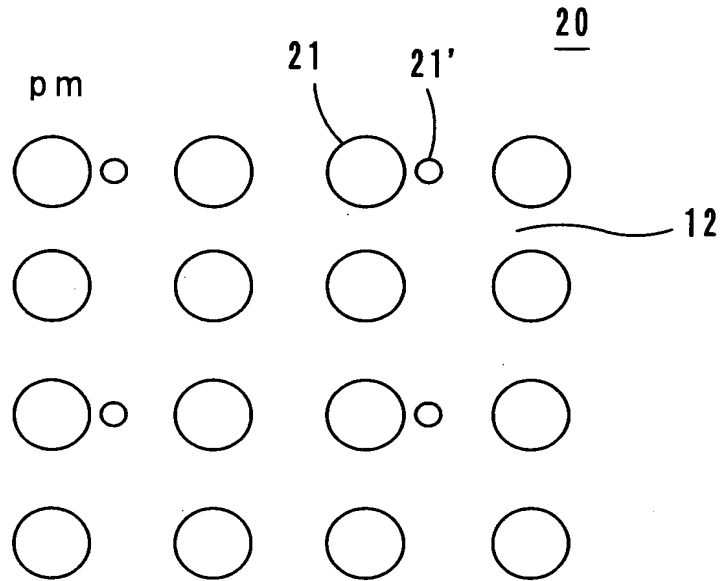


FIG. 24

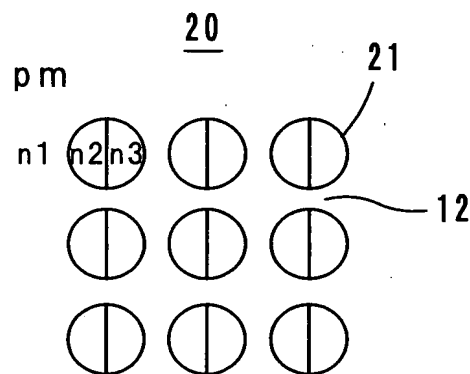


FIG. 25

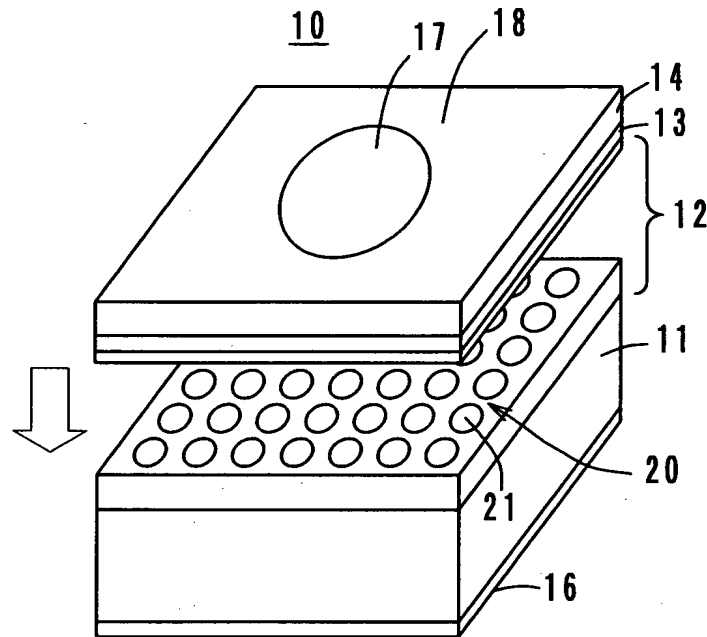


FIG. 26

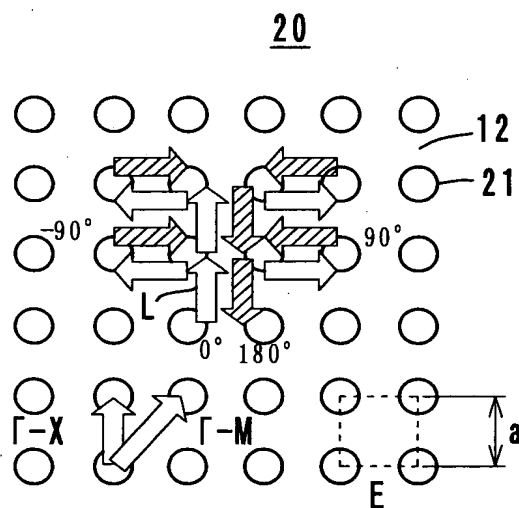


FIG. 27

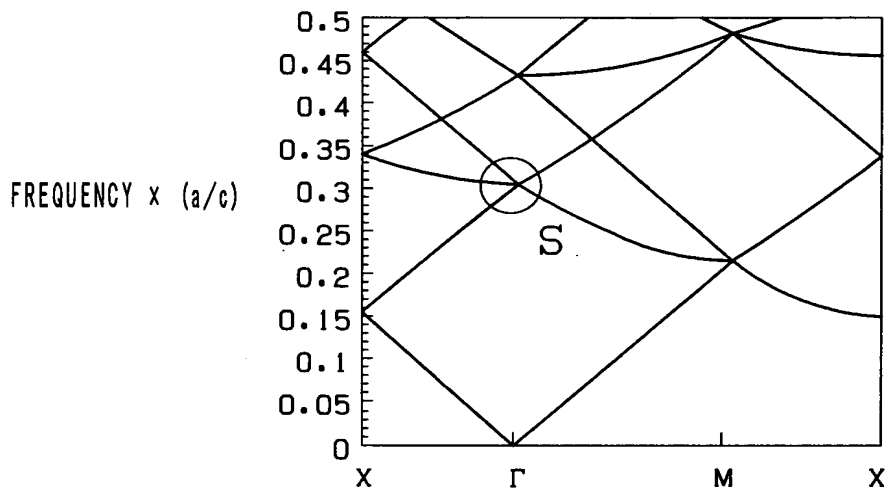
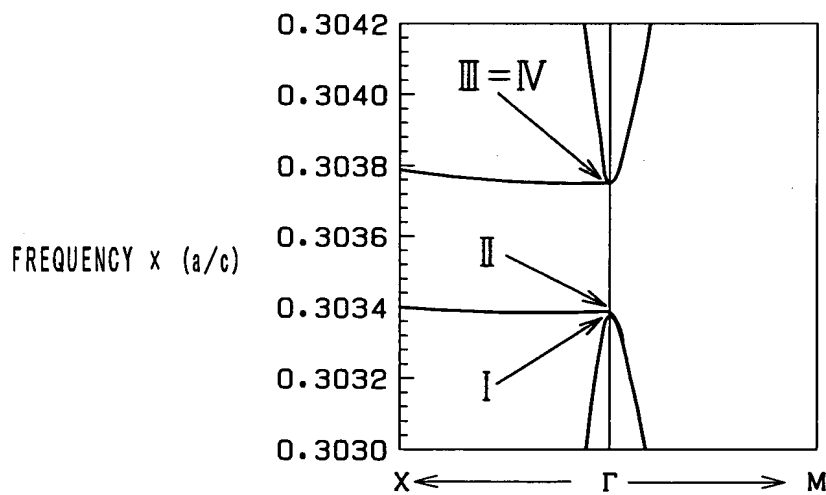
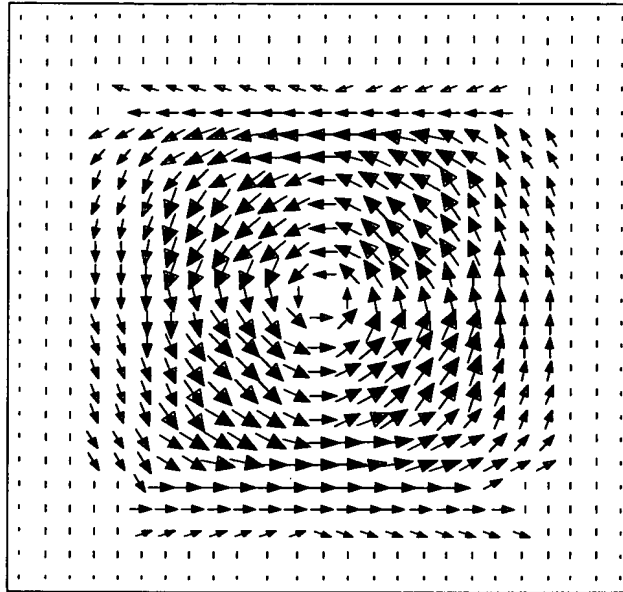


FIG. 28



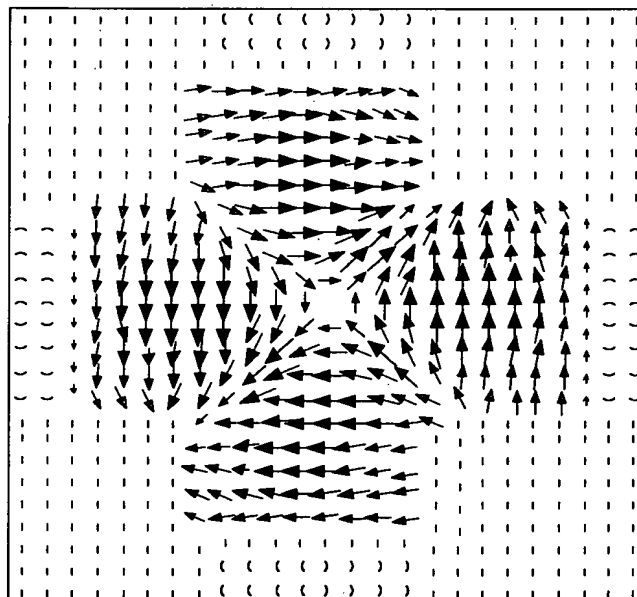
*F I G . 2 9*

MODE I

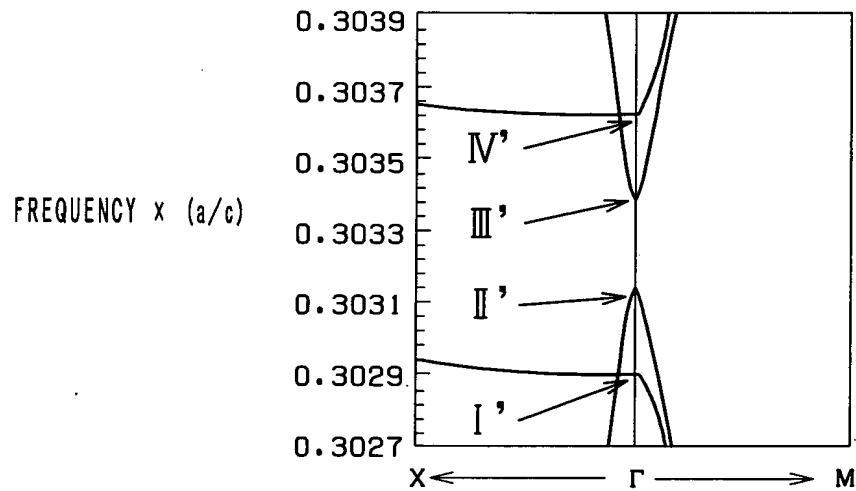


*F I G . 3 0*

MODE II

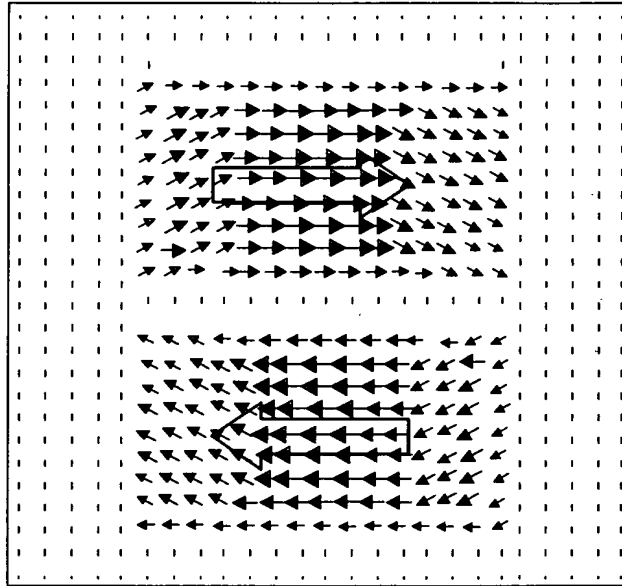


*F I G . 3 1*

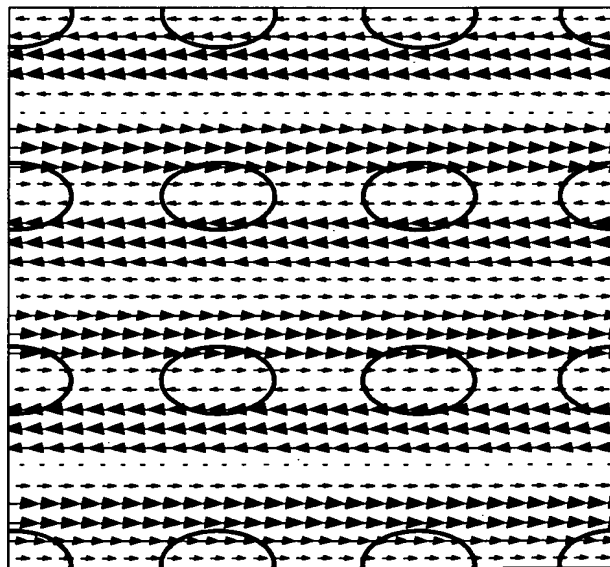


*F I G . 3 2 a*

MODE I'



*F I G . 3 2 b*



10/550596

FIG. 33

MODE II'

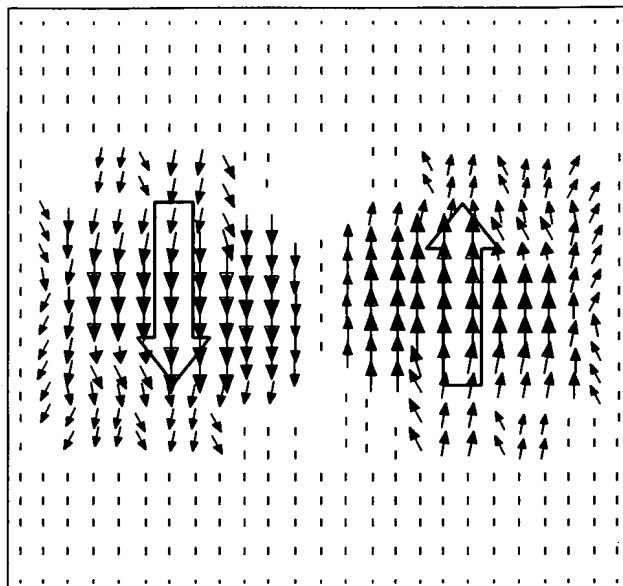
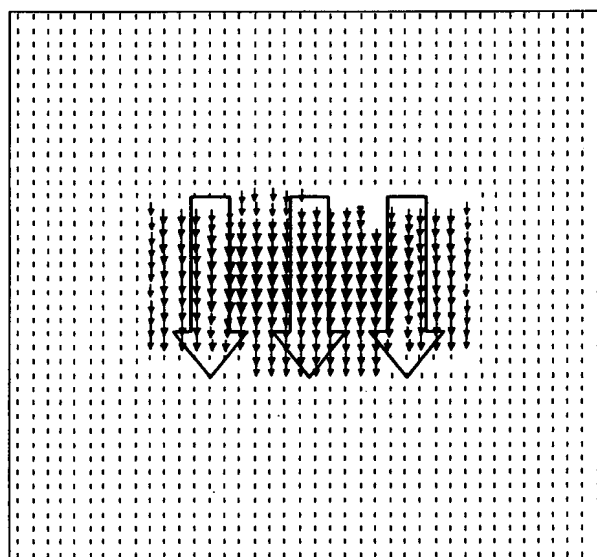


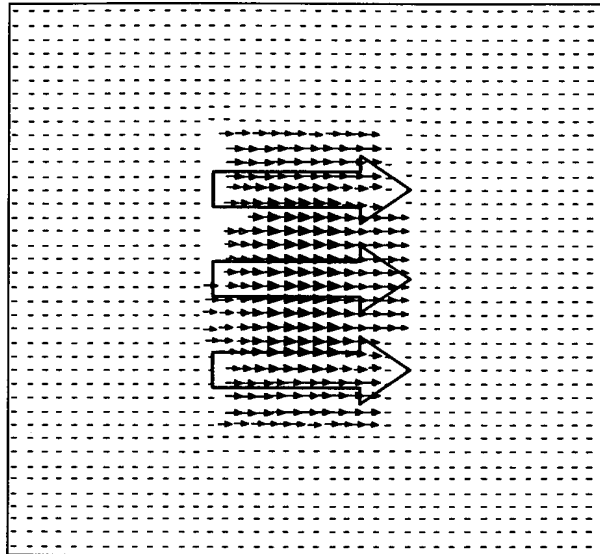
FIG. 34

MODE III'



*F I G . 3 5 a*

MODE IV'



*F I G . 3 5 b*

